

产品特性

- 分辨率：16 位
- 电源电压 3.3V/1.8V
- 最大采样率 250MSPS
- SNR: 75dBFS(170 MHz @ 250 MSPS)
- SFDR: 85dBc(170 MHz @ 250 MSPS)
- 60 fs rms jitter
- 微分非线性 DNL=±0.5LSB (典型)
- 积分非线性 INL=±3.5LSB (典型)
- 差分模拟输入范围≤2.5VPP
- SPI 功能
- DDR LVDS 输出 (ANSI-644 兼容)
- 内置时钟占空比稳定且有时钟输出
- 封装形式 QFN72
- 兼容 AD9467-250

产品应用

- 通信
- 接收器
- 基站
- 光谱分析
- 宽带无线
- 雷达
- 红外成像
- 功放线性化
- 图像处理

产品描述

CBM94AD67 是一种 16 位单片中频采样模数转换器 (ADC)。它针对宽带高性能和易用性进行了优化。该产品以 250 MSPS 的转换速率运行，专为需要高动态范围的无线接收器、仪器和测试设备而设计。ADC 需要 1.8 V 和 3.3 V 电源以及低电压差分输入时钟才能实现全性能操作。许多应用不需要外部参考或驱动组件。数据输出与 LVDS 兼容 (ANSI-644 兼容)，并包括减少短跟踪距离所需总电流的方法。

提供用于捕获输出上的数据的数据时钟输出 (DCO)，用于向新的输出位发送信号。禁用时，通过 SPI 支持的内部断电功能通常消耗不到 5 mW。可选功能允许用户实现各种可选的操作条件，包括输入范围、数据格式选择和输出数据测试模式。CBM94AD67 采用的是通过 - 工业温度范围为 40°C 至 +85°C。

目 录

| | |
|----------------|----|
| 产品特性..... | 1 |
| 产品应用..... | 1 |
| 产品描述..... | 1 |
| 目录..... | 2 |
| 功能框图..... | 3 |
| 引脚配置与功能描述..... | 4 |
| 绝对最大额定值..... | 7 |
| 电气特性..... | 8 |
| 典型特性..... | 12 |
| 控制功能..... | 14 |
| 应用说明..... | 17 |
| 输入信号..... | 17 |
| 时序规格..... | 17 |
| 使用注意事项..... | 20 |
| 封装尺寸及结构..... | 21 |
| QFN-72..... | 21 |
| 包装/订购信息..... | 22 |

功能框图

该产品主要功能是将输入模拟信号转换为 16 位并行数字信号输出，主要用于采集高频宽带信号。电源电压 3.3V/1.8V，转换器包括前端缓冲器、流水线电路、逻辑校准、输出 IO、时钟处理电路、输出控制、基准等功能单元电路。该产品功能框图如图 1 所示，时序如图 2 所示。

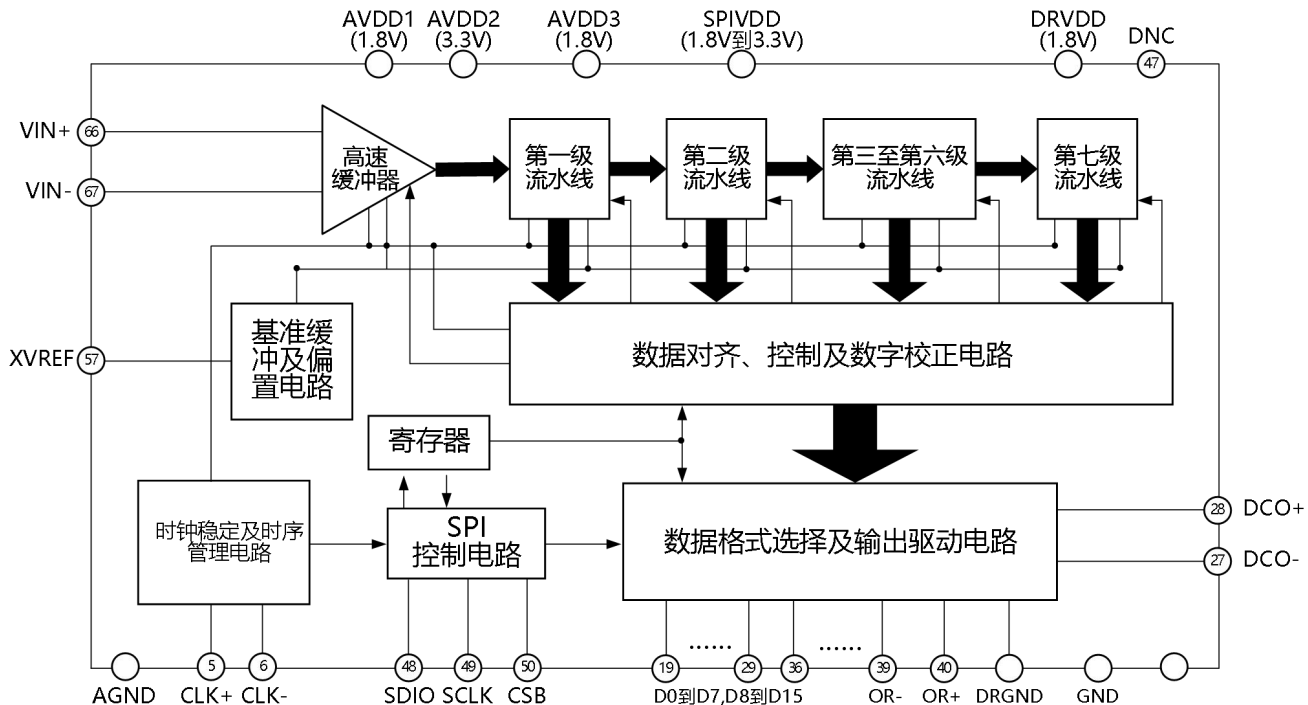


图 1. 功能框图

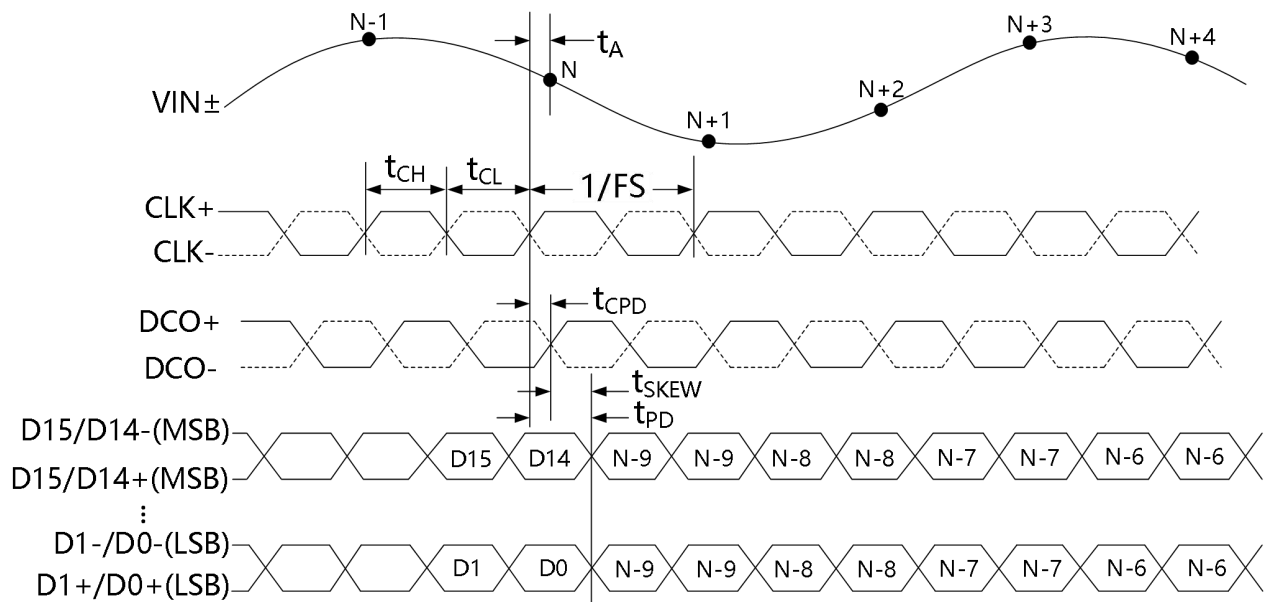
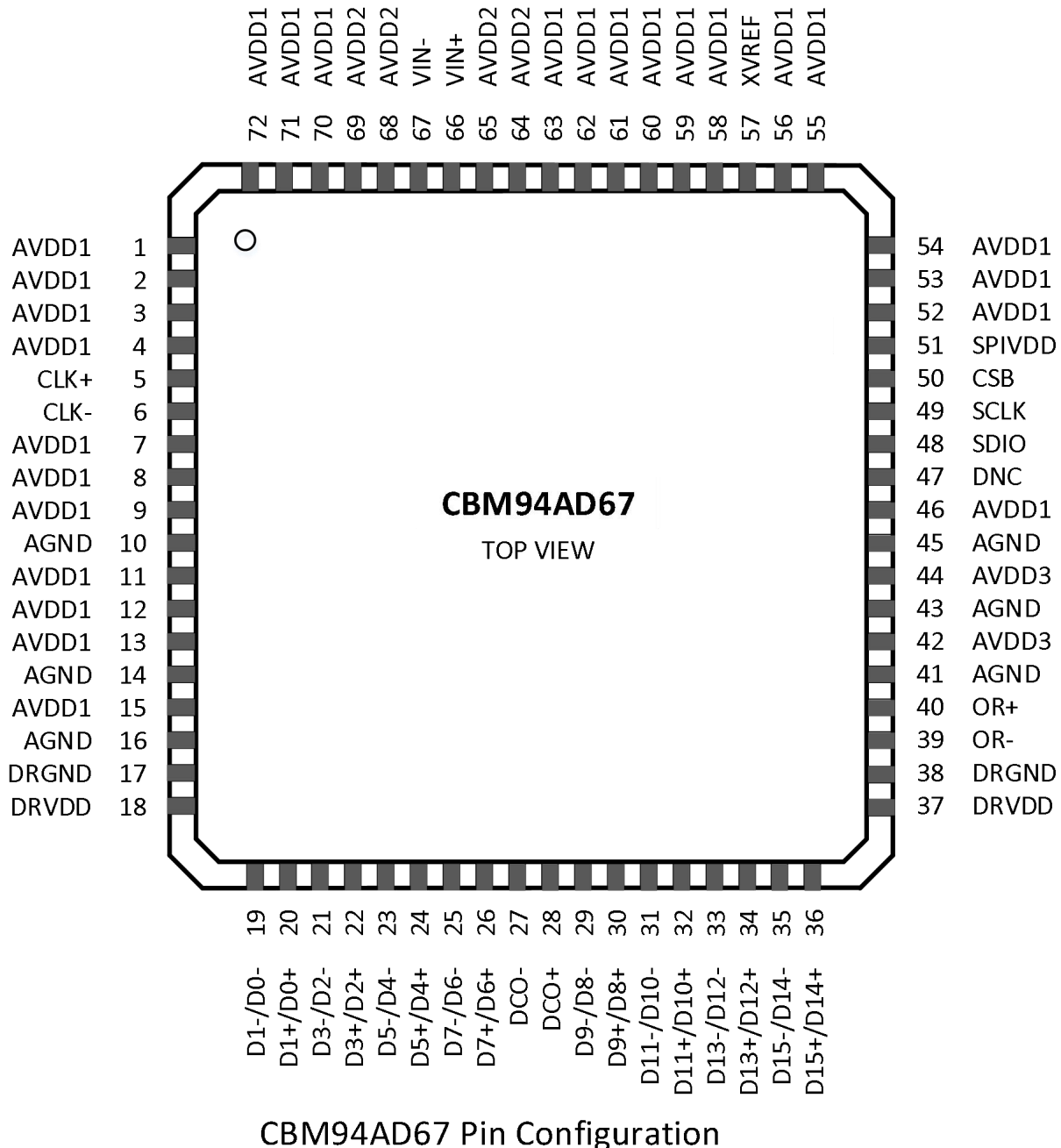


图 2. 时序图

引脚配置与功能描述

引脚分配



引脚定义

表 1.引脚功能描述

| 管脚编号 | 符号 | 功能 |
|---|-----------|----------------------|
| 10,14,16,41,43,45 | AGND | 模拟地 |
| 1, 2, 3, 4, 7, 8, 9, 11, 12, 13, 15, 46, 52, 53, 54, 55, 56, 58, 59, 60, 61, 62, 63, 70, 71, 72 | AVDD1 | 1.8V模拟电源 |
| 64,65,68,69 | AVDD2 | 3.3V模拟电源 |
| 42,44 | AVDD3 | 1.8V模拟电源 |
| 51 | SPIVDD | 1.8 V或3.3 V SPI电源 |
| 17,38 | DRGND | 数字输出驱动地 |
| 18,37 | DRVDD | 1.8V数字输出驱动电源 |
| 67 | VIN- | 模拟输入负端 |
| 66 | VIN+ | 模拟输入正端 |
| 6 | CLK- | 时钟输入负端 |
| 5 | CLK+ | 时钟输入正端 |
| 19 | D1-/D0- | D1和D0数字输出负端 |
| 20 | D1+/D0+ | D1和D0数字输出正端 |
| 21 | D3-/D2- | D3和D2数字输出负端 |
| 22 | D3+/D2+ | D3和D2数字输出正端 |
| 23 | D5-/D4- | D5和D4数字输出负端 |
| 24 | D5+/D4+ | D5和D4数字输出正端 |
| 25 | D7-/D6- | D7和D6数字输出负端 |
| 26 | D7+/D6+ | D7和D6数字输出正端 |
| 29 | D9-/D8- | D9和D8数字输出负端 |
| 30 | D9+/D8+ | D9和D8数字输出正端 |
| 31 | D11-/D10- | D11和D10数字输出负端 |
| 32 | D11+/D10+ | D11和D10数字输出正端 |
| 33 | D13-/D12- | D13和D12数字输出输出负端 |
| 34 | D13+/D12+ | D13和D12数字输出正端 |
| 35 | D15-/D14- | D15 (MSB) 和D14数字输出负端 |
| 36 | D15+/D14+ | D15 (MSB) 和D14数字输出正端 |

| | | |
|----|-------|-------------|
| 27 | DCO- | 数据时钟数字输出负端 |
| 28 | DCO+ | 数据时钟数字输出正端 |
| 39 | OR- | 超出范围的数字输出负端 |
| 40 | OR+ | 超出范围的数字输出正端 |
| 47 | DNC | 不连接 (引脚悬空) |
| 48 | SDIO | 串行数据输入/输出 |
| 49 | SCLK | 串行时钟 |
| 50 | CSB | 芯片选择栏 |
| 57 | XVREF | 外部VREF选项 |

绝对最大额定值

| 参数 | 范围 |
|------------------------------------|------------------------|
| AVDD to AGND | -0.3V到+2.0V |
| DRVDD to DRGND | -0.3V到+2.0V |
| AGND to DRGND | -0.3V到+0.3V |
| AVDD to DRVDD | -2.0V到+2.0V |
| D0+/D0- Through D11+/D11- to DRGND | -0.3 V 到 DRVDD + 0.2 V |
| DCO+, DCO- to DRGND | -0.3 V 到 DRVDD + 0.2 V |
| OR+, OR- to DRGND | -0.3 V 到 DRVDD + 0.2 V |
| CLK+ to AGND | -0.3 V 到 AVDD + 0.2 V |
| CLK - to AGND | -0.3 V 到 AVDD + 0.4 V |
| VIN+ to AGND | -0.3 V 到 AVDD + 0.4 V |
| VIN- to AGND | -0.3 V 到 AVDD + 0.2 V |
| CML to AGND | -0.3 V 到 AVDD + 0.2 V |
| VREF to AGND | -0.3 V 到 AVDD + 0.2 V |
| SDIO to DRGND | -0.3 V 到 DRVDD + 0.2 V |
| PDWN to AGND | -0.3 V 到 DRVDD + 0.2 V |
| CSB to AGND | -0.3 V 到 DRVDD + 0.2 V |
| SCLK/DFS to AGND | -0.3 V 到 DRVDD + 0.2 V |
| 工作温度 | -40°C 到 +85°C |
| 引脚温度 (焊接, 10s) | 300°C |
| 结温 | 150°C |
| 存储温度范围 | -65°C 到 +125°C |

电气特性

除非另有说明, AVDD1=1.8V, AVDD2=3.3V, AVDD3=1.8V, DRVDD=1.8V, -40°C≤TA≤85°C, 规定最大采样率, 2.5Vp-p 差分输入, 1.25V 内部参考, AIN=-1.0 dBFS, DCS 开启, 默认 SPI 设置。

表 2.

| 参数 | 符号 | 测试条件及说明 | CBM94AD67-200 | | | CBM94AD67-250 | | | 单位 |
|-------------------------|--------------------|---|---------------|--------|-------|---------------|---------|-------|-------------|
| | | | 最小值 | 典型值 | 最大值 | 最小值 | 典型值 | 最大值 | |
| 分辨率 | -- | -- | 16 | | | 16 | | | Bits |
| 积分线性误差 | E _L | -- | -9.5 | ±5 | 9.5 | -11.8 | ±3.5 | 9.5 | LSB |
| 微分线性误差 | E _{DL} | -- | -0.8 | ±0.4 | 0.7 | -0.6 | ±0.5 | 1.3 | LSB |
| 失调电压误差 | E _O | -- | -150 | 0 | 150 | -150 | 0 | 150 | LSB |
| 增益误差 | E _G | -- | -3.5 | -0.2 | 2.5 | -3.5 | -0.1 | 2.5 | %FSR |
| 失调电压温漂 | D _{OFF} | -- | -- | ±0.021 | -- | -- | ±0.023 | -- | %FSR/ °C |
| 增益误差温漂 | D _G | -- | -- | ±0.012 | -- | -- | ±0.036 | -- | %FSR/ °C |
| 全功率带宽 | FPBW | -- | -- | 900 | -- | -- | 900 | -- | MHz |
| 相位噪声抖动 | AUJ | | -- | 60 | -- | | 60 | | fs rms |
| 数字输出差分电压 | V _{OD} | -- | 247 | -- | 545 | 247 | -- | 545 | mV |
| 数字输出共模电压 | V _{OS} | -- | 1.125 | -- | 1.375 | 1.125 | -- | 1.375 | V |
| 电源 V _{DDA1} 电流 | I _{VDDA1} | -- | 480 | 532 | 575 | 514 | 567 | 618 | mA |
| 电源 V _{DDA3} 电流 | I _{VDDA3} | -- | 49 | 55 | 61 | 49 | 55 | 61 | mA |
| 电源 V _{DDA2} 电流 | I _{VDDA2} | -- | 20 | 24 | 28 | 27 | 31 | 35 | mA |
| 电源 V _{DDD} 电流 | I _{VDDD} | -- | 35 | 38 | 41 | 36 | 40 | 43 | mA |
| 功耗 | P _W | -- | 1.10 | 1.25 | 1.38 | 1.2 | 1.33 | 1.45 | W |
| 省电模式功耗 | P _D | -- | -- | 4.4 | 90 | -- | 4.4 | 90 | mW |
| 信噪比 | SNR | f _{IN} =5MHz, T _A =25°C | -- | 74.6/7 | -- | -- | 74.7/76 | -- | |

| | | | | | | | | |
|-------|-------|--|------|---------------|----|------|---------------|----|
| | | | 6.4 | | | .4 | | |
| | | $f_{IN} = 97\text{MHz}$, $T_A = 25^\circ\text{C}$ | 75.1 | 74.5/7 6.2 | -- | -- | 74.5/76 .1 | -- |
| | | $f_{IN} = 97\text{MHz}$ | 73.8 | -- | -- | -- | -- | -- |
| | | $f_{IN} = 140\text{MHz}$, $T_A = 25^\circ\text{C}$ | -- | 74.3/7 6.0 | -- | -- | 74.4/76 .0 | -- |
| | | $f_{IN} = 170\text{MHz}$, $T_A = 25^\circ\text{C}$ | -- | 74.2/7 5.8 | -- | 74.7 | 74.3/75 .8 | -- |
| | | $f_{IN} = 170\text{MHz}$ | -- | -- | -- | 72.3 | -- | -- |
| | | $f_{IN} = 210\text{MHz}$, $T_A = 25^\circ\text{C}$ | -- | 73.9/7 5.5 | -- | -- | 74.0/75 .5 | -- |
| | | $f_{IN} = 300\text{MHz}$, $T_A = 25^\circ\text{C}$ | -- | 73.5/7 4.7 | -- | -- | 73.3/74 .6 | -- |
| | | | | | | | | |
| 信噪失真比 | SINAD | $f_{IN} = 5\text{MHz}$, $T_A = 25^\circ\text{C}$ | -- | 74.6/7 6.3 | -- | -- | 74.6/76 .3 | -- |
| | | $f_{IN} = 97\text{MHz}$, $T_A = 25^\circ\text{C}$ | 74.7 | 74.5/7 6.2 | -- | -- | 74.4/76 .0 | -- |
| | | $f_{IN} = 97\text{MHz}$ | 73.1 | -- | -- | -- | -- | -- |
| | | $f_{IN} = 140\text{MHz}$, $T_A = 25^\circ\text{C}$ | -- | 74.3/7 5.9 | -- | | 74.4/76 .0 | |
| | | $f_{IN} = 170\text{MHz}$, $T_A = 25^\circ\text{C}$ | -- | 74.1/7 5.6 | -- | 74.4 | 74.2/75 .8 | |
| | | $f_{IN} = 170\text{MHz}$ | -- | -- | -- | 71.8 | -- | -- |
| | | $f_{IN} = 210\text{MHz}$, $T_A = 25^\circ\text{C}$ | -- | 73.9/7 5.3 | -- | -- | 73.9/75 .4 | -- |
| | | $f_{IN} = 300\text{MHz}$, $T_A = 25^\circ\text{C}$ | -- | 73.3/7 4.3 | -- | -- | 73.1/74 .4 | -- |
| 有效位数 | ENOB | $f_{IN} = 5\text{MHz}$, $T_A = 25^\circ\text{C}$ | -- | 12.1/1 2.4 | -- | -- | 12.1/12 .4 | -- |
| | | $f_{IN} = 97\text{MHz}$, $T_A = 25^\circ\text{C}$ | -- | 12.1/1 2.4 | -- | -- | 12.1/12 .3 | -- |
| | | $f_{IN} = 97\text{MHz}$ | -- | -- | -- | -- | -- | -- |
| | | $f_{IN} = 140\text{MHz}$ | -- | 12.1/1 | -- | -- | 12.1/12 | -- |

| | | | | | | | | | |
|---------------------------|----------|--|----|---------------|----|----|---------------|----|------|
| | | T _A =25°C | | 2.3 | | | .3 | | |
| | | f _{IN} =170MHz, T _A =25°C | -- | 12.0/1 2.3 | -- | -- | 12.0/12 .3 | -- | |
| | | f _{IN} =170MHz | -- | -- | -- | -- | -- | -- | |
| | | f _{IN} =210MHz, T _A =25°C | -- | 12.0/1 2.2 | -- | -- | 12.0/12 .2 | -- | |
| | | f _{IN} =300MHz, T _A =25°C | -- | 11.9/1 2.1 | -- | -- | 11.9/12 .1 | -- | |
| 无杂散动态范 围 (2、3阶谐波) | SFDR2, 3 | f _{IN} =5MHz, T _A =25°C | -- | 95/95 | -- | 80 | 98/97 | -- | dBFS |
| | | f _{IN} =97MHz, T _A =25°C | 85 | 95/95 | -- | | 95/93 | | |
| | | f _{IN} =97MHz | 82 | -- | -- | | -- | | |
| | | f _{IN} =140MHz, T _A =25°C | -- | 94/93 | -- | -- | 94/95 | -- | |
| | | f _{IN} =170MHz, T _A =25°C | -- | 95/90 | -- | 84 | 93/92 | -- | |
| | | f _{IN} =170MHz | -- | -- | -- | 84 | -- | -- | |
| | | f _{IN} =210MHz, T _A =25°C | -- | 93/88 | -- | -- | 93/92 | -- | |
| | | f _{IN} =300MHz, T _A =25°C | -- | 92/86 | -- | -- | 93/90 | -- | |
| 无杂散动态范 围 (包括2、3阶谐波) | SFDR | f _{IN} =5MHz@ -2 dB Full Scale | -- | 100/96 | -- | -- | 100/10 0 | -- | dBFS |
| | | f _{IN} =97MHz@ -2 dB Full Scale | -- | 100/98 | -- | -- | 97/97 | -- | |
| | | f _{IN} =140MHz@ -2 dB Full Scale | -- | 98/96 | -- | -- | 100/95 | -- | |
| | | f _{IN} =170MHz@ -2 dB Full Scale | -- | 96/93 | -- | -- | 100/10 0 | -- | |
| | | f _{IN} =210MHz@ -2 dB Full Scale | -- | 94/93 | -- | -- | 93/93 | -- | |
| | | f _{IN} =300MHz@ -2 dB Full Scale | -- | 90/89 | -- | -- | 90/90 | -- | |

| 无杂散动态范围 (除去2、3阶) | SFDR ex23 | $f_{IN}=5\text{MHz}, T_A=25^\circ\text{C}$ | -- | 96/98 | -- | -- | 98/97 | -- | dBFS | |
|---------------------|--------------|--|----|-------|----|----|-------|-----|------|--|
| | | $f_{IN}=97\text{MHz}, T_A=25^\circ\text{C}$ | 86 | 97/97 | -- | -- | 97/93 | -- | | |
| | | $f_{IN}=97\text{MHz}$ | 83 | -- | -- | -- | -- | -- | | |
| | | $f_{IN}=140\text{MHz}, T_A=25^\circ\text{C}$ | -- | 97/96 | -- | -- | 97/95 | -- | | |
| | | $f_{IN}=170\text{MHz}, T_A=25^\circ\text{C}$ | -- | 98/98 | -- | 90 | 97/93 | -- | | |
| | | $f_{IN}=170\text{MHz}$ | -- | -- | -- | 87 | -- | -- | | |
| | | $f_{IN}=210\text{MHz}, T_A=25^\circ\text{C}$ | -- | 96/97 | -- | -- | 97/95 | -- | | |
| | | $f_{IN}=300\text{MHz}, T_A=25^\circ\text{C}$ | -- | 95/95 | -- | -- | 97/95 | -- | | |
| | | 采样率 | CR | -- | 50 | -- | 200 | 50 | -- | |
| | | | | | | | | 250 | MSPS | |

典型特性

INL 和 DNL 测试曲线如图 3 所示。

输入模拟输入频率 100MHz、采样率 250MSPS 的 FFT 如图 4 所示。输入模拟输入频率 170MHz、采样率 250MSPS 的 FFT 如图 5 所示。输入模拟输入频率 230MHz、采样率 250MSPS 的 FFT 如图 6 所示。输入模拟输入频率 300MHz、采样率 250MSPS 的 FFT 如图 7 所示。带宽测试如图 8 所示。

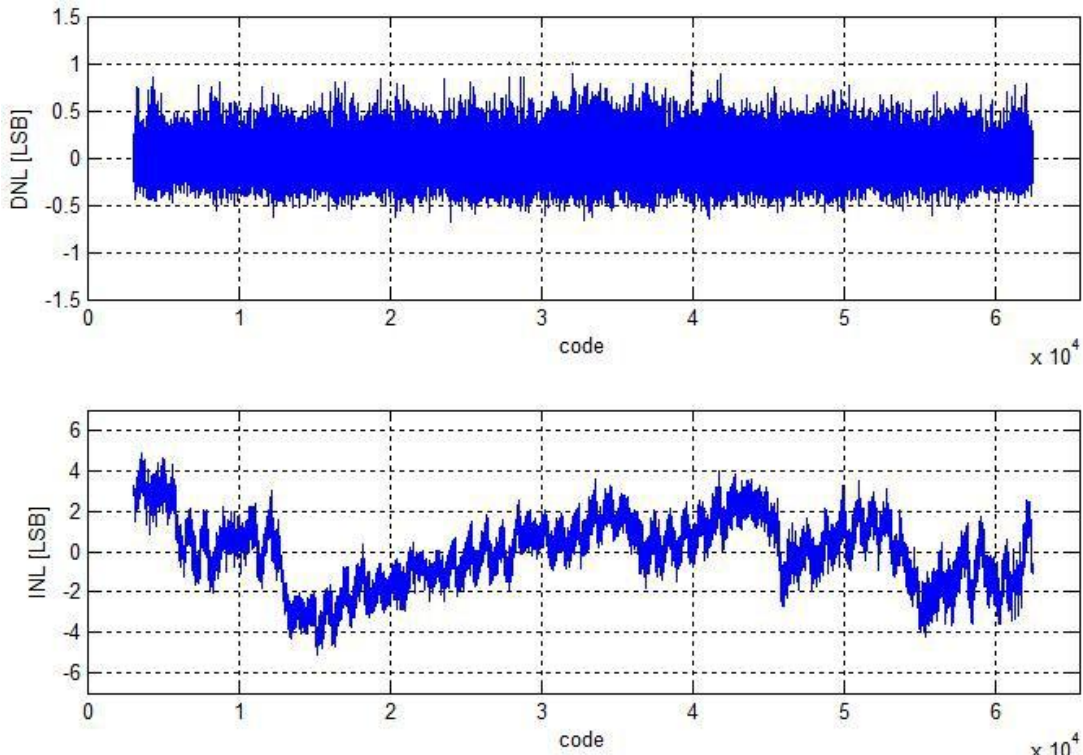


图 3. INL 和 DNL 典型测试图

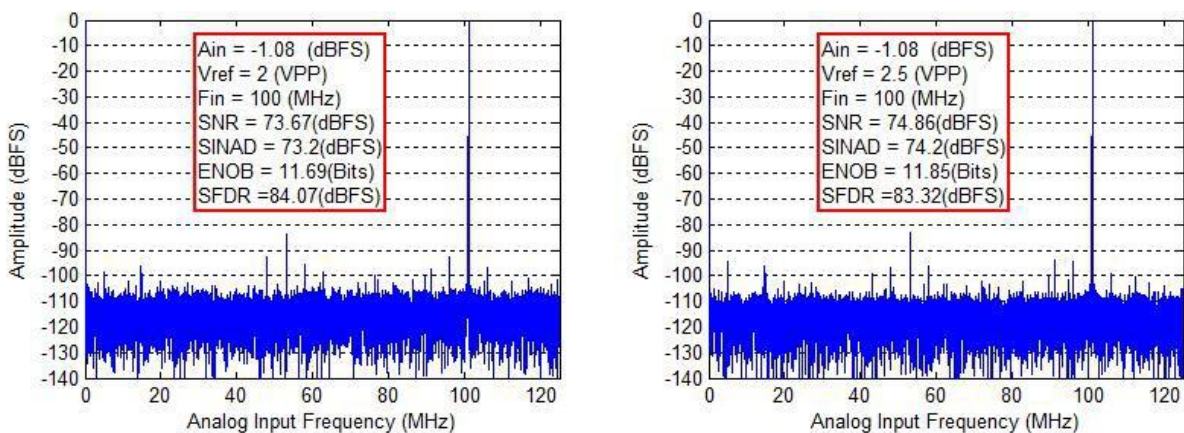


图 4. FFT 特性：模拟输入频率 100MHz、采样率 250MSPS

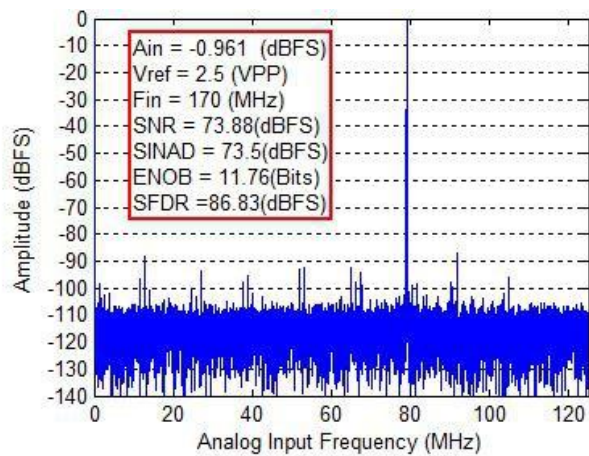
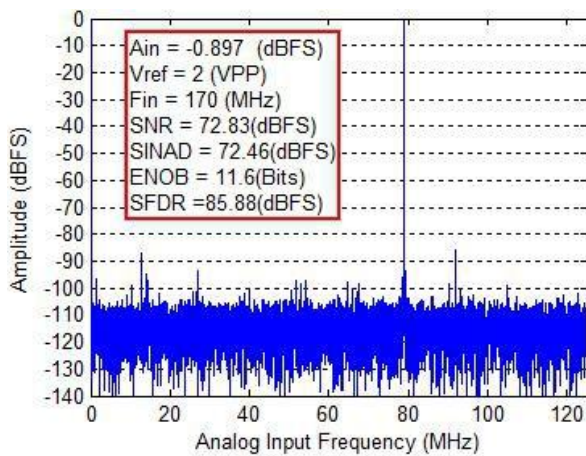


图 5. FFT 特性：模拟输入频率 170MHz、采样率 250MSP

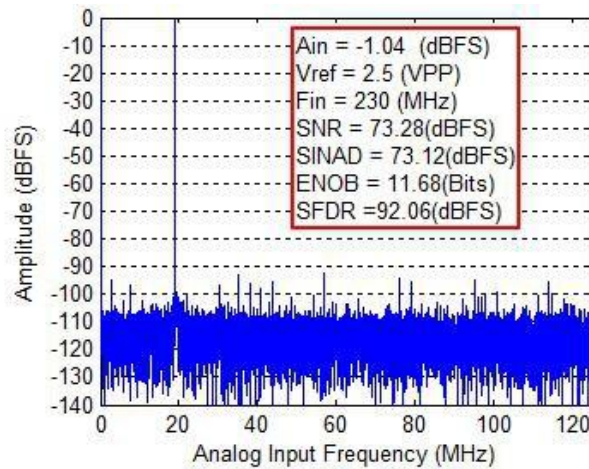
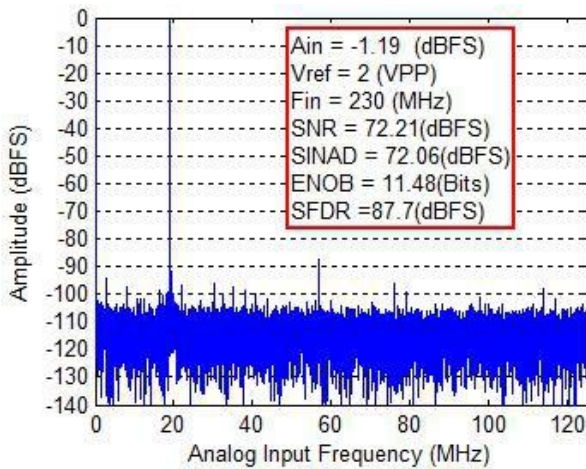


图 6. FFT 特性：模拟输入频率 230MHz、采样率 250MSP

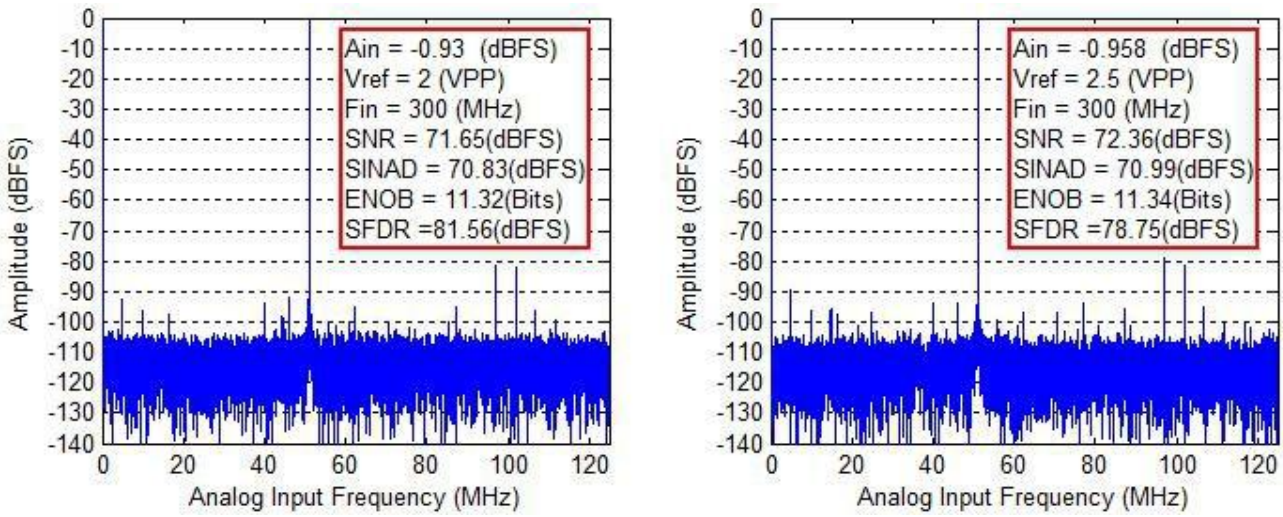


图 7. FFT 特性：模拟输入频率 300MHz、采样率 250MSPS

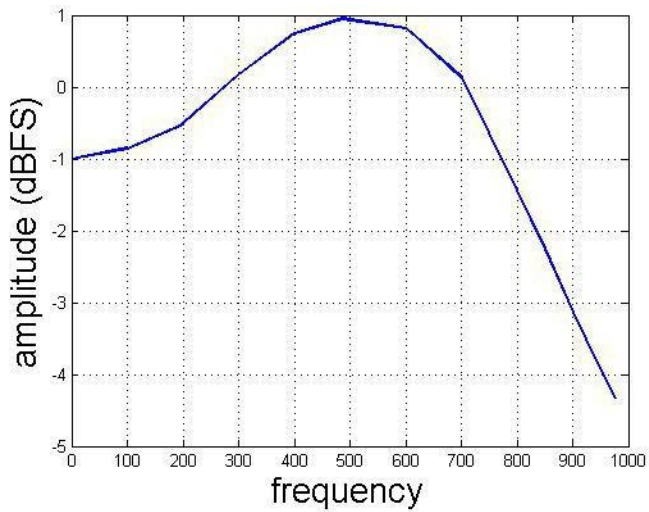


图 8. 全功率带宽特性

控制功能

该产品控制功能主要通过 SPI 实现，SPI 寄存器定义如下表所示。

表 3.

| 地址 | 名称 | Bit7(MSB) | Bit6 | Bit5 | Bit4 | Bit3 | Bit2 | Bit1 | Bit0 (LSB) | 默认 | 备注 |
|----|--------|----------------------------|------|---|-------------------------------------|------|--|---------------------------------|------------|------|--------------------------------|
| 08 | 模式 | X | X | X | X | X | X | 内部关断模式 00=工作(默认) 01=全芯片关断 | | 0X00 | 决定芯片的一般工作模式 |
| 09 | 时钟 | X | X | X | X | X | X | X | 1=DCS | 0X01 | |
| 0C | 增强模式 | X | X | X | X | X | X | X | 1=随机模式 | 0X01 | 启用随机模式 |
| 0D | 输出测试模式 | X | X | 产生复位 长PN序列 (默认1= 打开, 0= 关闭) | 产生复位 短PN序列 (默 认1=打开, 0=关闭) | X | 输出测试模式 0000=off(默认) 0001=midscale short 0010=+FS short 0011=-FS short 0100=checker-boardoutput 0101=PN23 sequence 0110=PN9 sequence 0111=1/0 word toggle | | | 0X00 | 当取默认值之外的配置时，测试 模式数据取代正常数据输出 |
| 0E | BIST | X | X | X | X | X | BIST 启动 | X | BIST使能 | 0X00 | BIST模式配置 |
| 0F | ADC 输入 | XVREF 0=off(默认) 1=on | | | | | 模拟关断 0=off 默认 1=on | | | 0X00 | 模拟输入功能 |
| 10 | Offset | | | | | | | | | 0X00 | Offset调整；会结合01A0和 01A1寄存器。 |

| | | | | | | | | | | | |
|-----|-------------|--------------------------|---|---|--------------------------|----------------------------------|--|--|------|---------------|------------|
| 14 | 输出模式 | X | 0 | X | 输出关断 1=on 0=off 默认 | 1= DDR使能 | 输出反向 1=on 0=off默认 | 输出数据格式 00= 偏移二进制(默认) 01=二进制补码 10=格雷码 | | 0X08 | 配置输出和数据格式 |
| 15 | 输出调整 | X | X | X | X | 粗调 (0=3.0 mA;1=1. 71mA) | 输出驱动电流调整: 001=3.0mA (默认) 010=2.79mA 011=2.57mA 100=2.35mA 101=2.14mA 110=1.93mA 111=1.71mA | | 0X00 | 确定LVD或其他输出属性。 | |
| 16 | 输出相位 | DCO输出反向 1=on 0=off | X | X | X | | X | X | X | 0X00 | 决定数字输出时钟相位 |
| 17 | 输出延迟 | 使能 1=on 0=off | X | X | 延迟调整 | | | | 0X00 | 调整输出时钟的延迟 | |
| 18 | Vref | X | X | X | X | | 输入满刻度范围调整 0000=2.0V _{p-p} 0110=2.1V _{p-p} 0111=2.2V _{p-p} 1000=2.3V _{p-p} 1001=2.4V _{p-p} 1010=2.5V _{p-p} (默认) | | 0X0A | 调整Vref | |
| 2C | 模拟输入 | X | X | X | X | X | 输入耦合模式 默认: 0=ac, 1=dc | X | X | 0X00 | 决定输入耦合模式 |
| 36 | Buffer电流调整1 | 001000=+80% | | | | | | 1 | 0 | 0X22 | |
| 107 | Buffer电流调整2 | 001000=+80% (默认) | | | | | | X | X | 0X20 | |

应用说明

● 输入信号

A/D 转换器模拟输入前端是一个差分缓冲器，为得到最好的动态性能，应匹配差分模拟端的源阻抗。输入端最好串联一个小电阻，有利于降低驱动源输出级的瞬态电流峰值。同时，在每个输入端上放置低 Q 值电感或者磁珠，使得模拟输入的差分电容减小，从而使 A/D 转换器带宽尽量高。高 IF 频率下，在驱动转换器的前端时，低 Q 值电感或者磁珠的使用非常必要。在输入放置一个并联电容或者两个单端电容，提供一个匹配的无源网络，最终在输入端产生一个低通滤波器，以滤掉带外噪声。推荐输入网络如图 9 和图 10 所示。

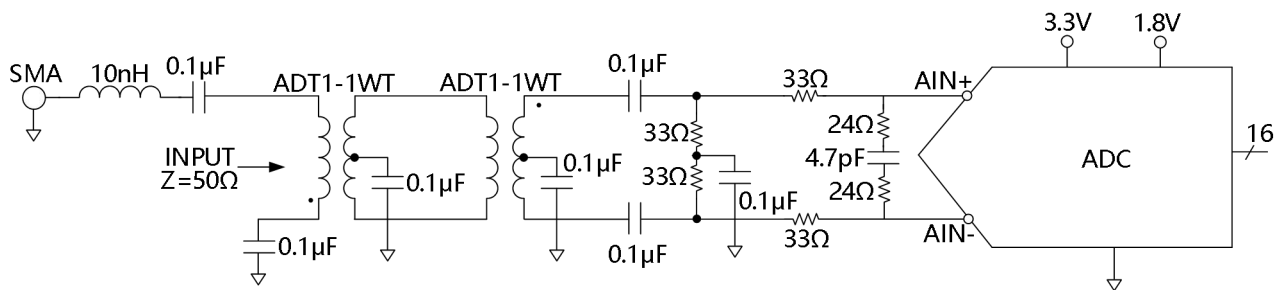


图 9. 低频输入前端网络 ($\sim 150\text{MHz}$)

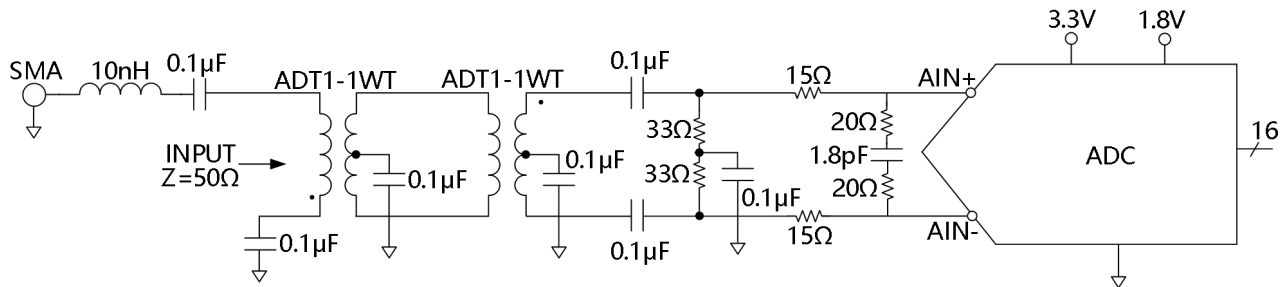


图 10. 高频输入前端网络 (中频输入 $150\text{MHz} \sim 300\text{MHz}$)

● 时序规格

• 时钟输入结构及推荐端接方式

ADC 时钟输入结构如图 11 所示，为差分输入结构，内部提供 0.8V 共模电压。外部时钟应采用交流耦合方式激励。采用巴伦的推荐输入结构如图 12 所示。采用 LVPECL 驱动器的推荐输入结构如图 13 所示。如果采用 LVDS 驱动器，推荐输入结构如图 14 所示。

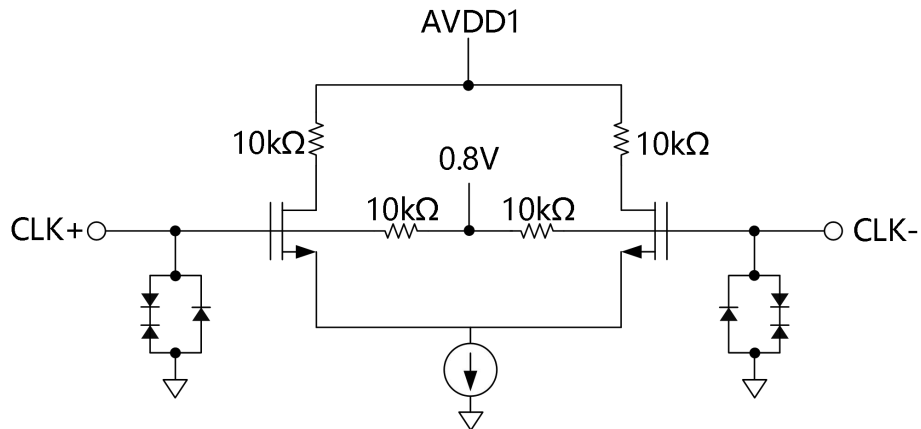


图 11. ADC 时钟输入结构

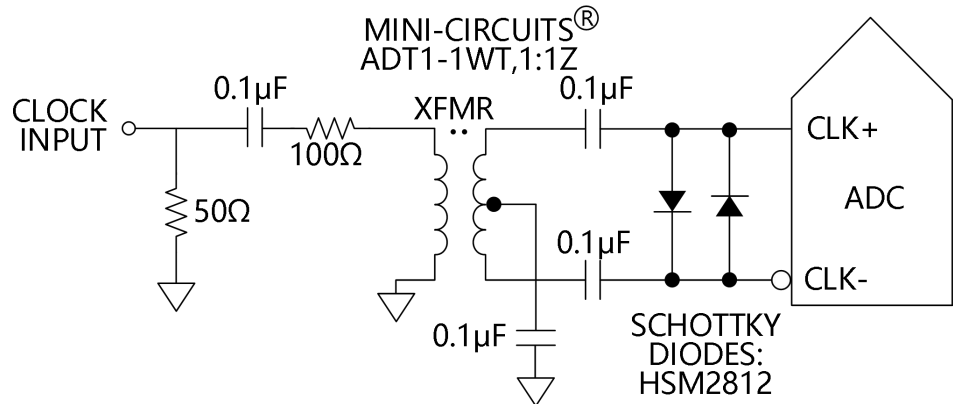


图 12. 时钟巴伦激励方案

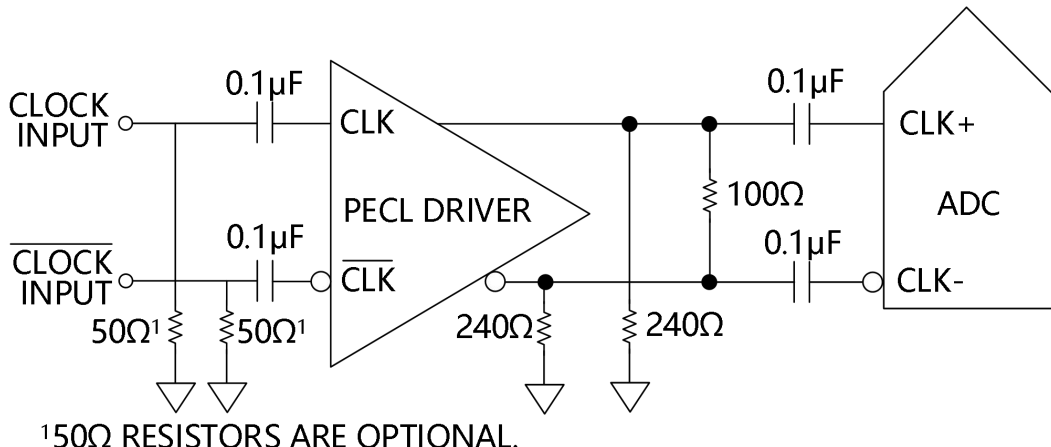


图 13. 时钟 LVPECL 信号激励方案

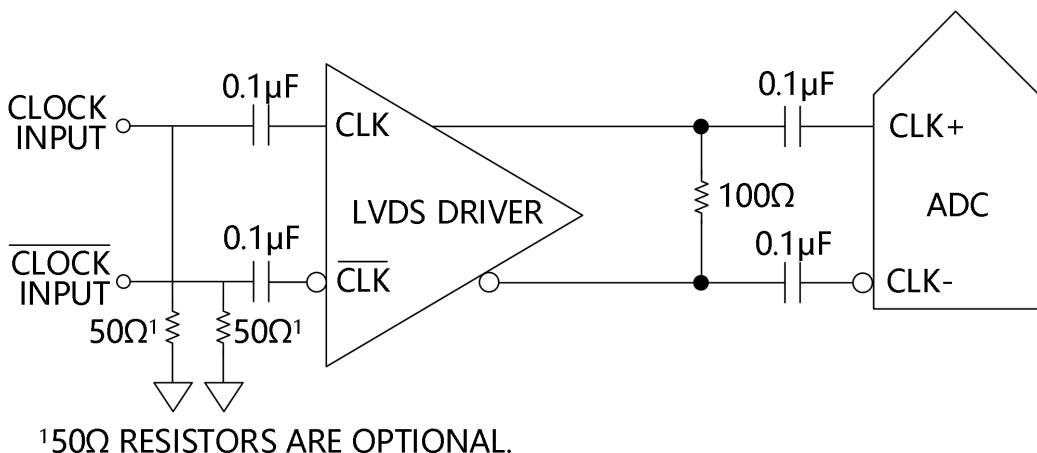


图 14. 时钟 LVDS 信号激励方案

- **时钟电平幅度**

差分输入时钟信号幅度最小值为 250mVpp，兼容 LVDS/LVPECL 电平，时钟单端最大可允许幅度为 $V_{CM} \pm 0.9V$ 。为了减少时钟抖动并达到最优性能，应尽量提供上升和下降较快的时钟。正弦波输入情况下提高信号幅度可达到上述效果。在高频输入下，建议尽量增大时钟输入幅度。

- **占空比**

ADC 内部电路采用输入时钟的双沿来产生各种时序信号，为保证芯片发挥其优良性能，应用时，应保证输入时钟占空比为 $(50 \pm 5) \%$ 。

- **抖动**

高速高精度 ADC 对时钟抖动十分敏感，尤其当输入信号频率较高时。信噪比 SNR 与抖动的关系为 $SNR = 20 \times \lg(1/(2\pi \times f_{IN} \times t_{jitter}))$ 。为保证本器件在高频模拟输入条件下具有最佳的 SNR，要求系统时钟抖动小于 100fs。

- **推荐时钟设计方案**

时钟方案采用单端转差分输入，变压器推荐使用 ADT1-1WT，输入输出分别用 0.1μF 陶瓷电容 AC 耦合。为获得对称波形，ADC 前可跨接两个背靠背的肖特基二极管。PCB 布线时，差分时钟走线要等长对称，且远离模拟输入端口，时钟与模拟输入端口之间做一些屏蔽（地覆铜）。推荐时钟设计方案如图 15 所示。

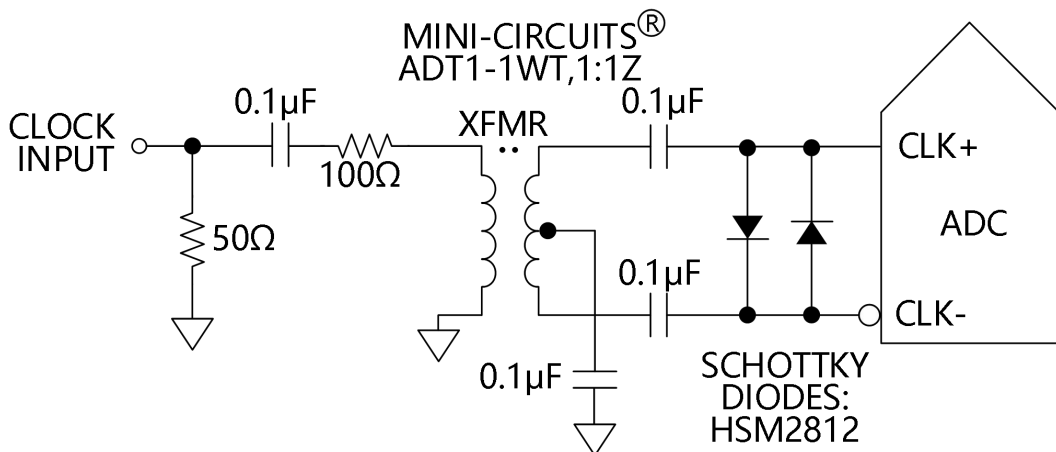


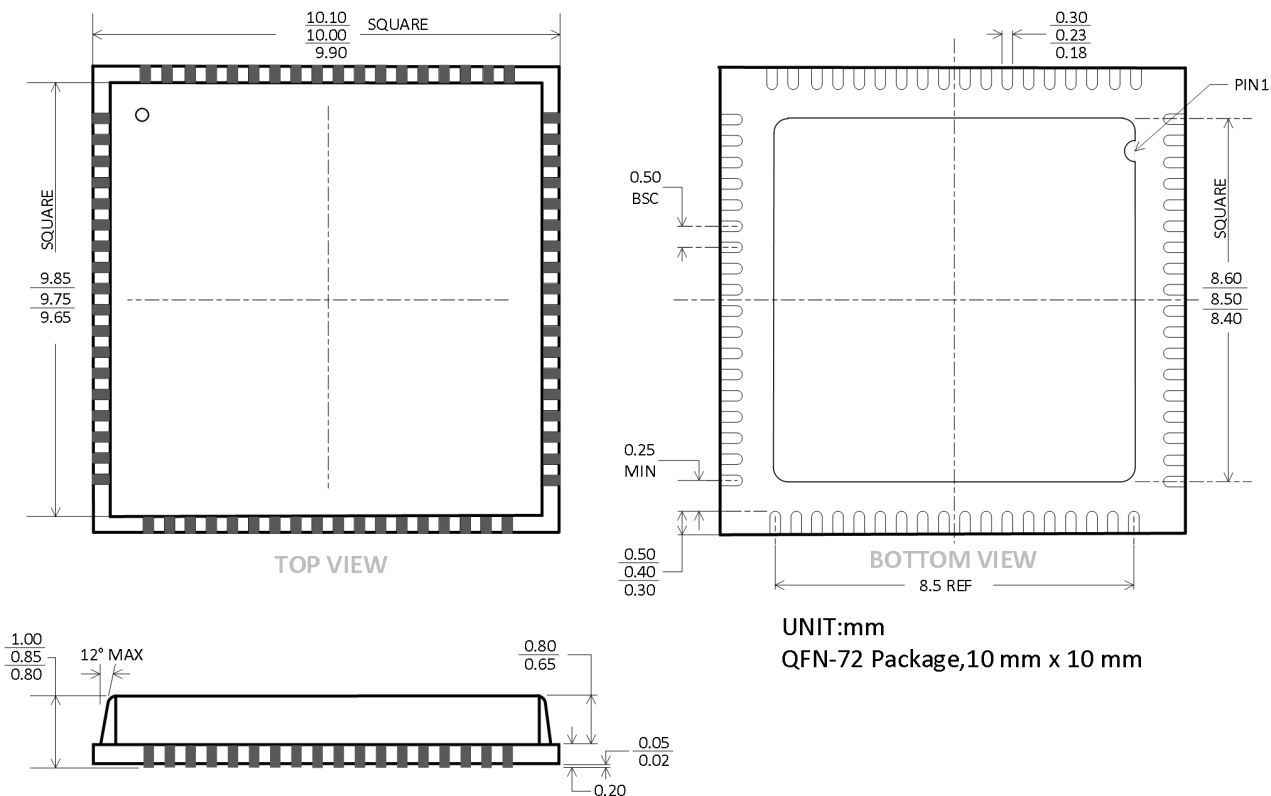
图 15. 推荐时钟方案

使用注意事项

- 1、热沉焊盘要与大地充分接触，应该通过尽量多的渠道和足够多的面积与 PCB 板的地层相连。
- 2、应用电路板有一个完整干净的地。
- 3、应用对象为多层布线板且内含独立的地层。
- 4、应用对象电路板的数字地和模拟地尽量分离，不要将数字线布于模拟线旁边或布于 A/D 转换器下。
- 5、模拟电源和数字输出电源端口要接高质量的陶瓷旁路电容，且旁路电容要尽量靠近管脚，连接管脚和旁路电容的连线越短越宽越好。
- 6、差分输入应尽量靠近且相互平行。
- 7、输入连线应尽量短以最小化寄生电容和噪声引入。
- 8、产品所有引出端均设计有静电保护结构，不过大能量电脉冲仍然可能损坏电路，因此在测试、搬运、储藏过程中，应注意静电防护。

封装尺寸及结构

QFN-72



包装/订购信息

| 产品名称 | 订单编码 | 温度范围 | 产品封装 | 运输及包装数量 | 包装标记 |
|----------------------|------|------------|--------|----------|------|
| CBM94AD67-200 | | -40°C+85°C | QFN-72 | Tray,168 | |
| CBM94AD67-250 | | -40°C+85°C | QFN-72 | Tray,168 | |